



Physik der Kondensierten Materie 2

Rudolf Gross

SS 2021

Teil 13

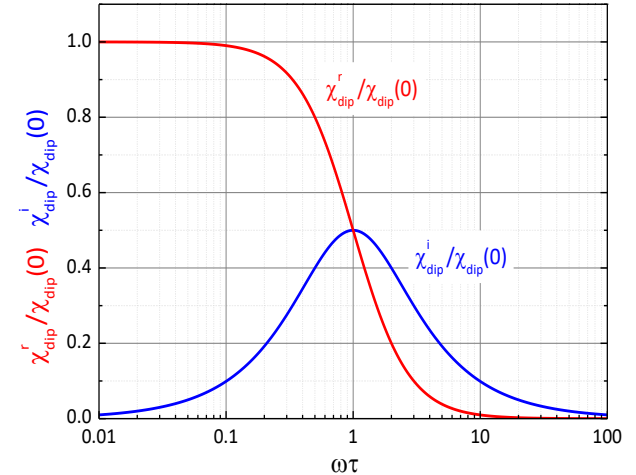
Vorlesungsstunde: 03.05.2021-1

• Orientierungspolarisation

partielle Ausrichtung von vorhandenen Dipolen durch \mathbf{E}_{ext}

(i) statisch: $\chi_{\text{dip}}(0) = \frac{C}{T}$ mit $C = n_v \frac{p_{\text{dip}}^2}{3\epsilon_0 k_B}$ **Curie-Gesetz** ($p_{\text{dip}} E \ll k_B T$)

(ii) dynamisch: $\chi_{\text{dip}}^r(\omega) = \chi_{\text{dip}}(0) \frac{1}{1 + \omega^2 \tau^2}$ **Debyesche Formeln** $\chi_{\text{dip}}^i(\omega) = \chi_{\text{dip}}(0) \frac{\omega \tau}{1 + \omega^2 \tau^2}$



• dielektrische Funktion von Metallen

- freie Elektronen \rightarrow keine Rückstellkraft
- Bewegungsgleichung:

$$m^* \frac{d^2 x}{dt^2} + \frac{m^* dx}{\tau dt} = (-e) E_0 e^{-i\omega t} \rightarrow$$

$$\epsilon_r(\omega) = \epsilon_{\text{el}}(\omega) \left[1 - \frac{\omega_p^2}{\omega^2} \frac{\omega^2 \tau^2}{1 + \omega^2 \tau^2} \right]$$

$$\epsilon_i(\omega) = \epsilon_{\text{el}}(\omega) \left[\frac{\omega_p^2}{\omega^2} \frac{\omega \tau}{1 + \omega^2 \tau^2} \right]$$

Plasma-Frequenz:

$$\omega_p = \sqrt{\frac{ne^2}{\epsilon_0 \epsilon_{\text{el}}(\omega) m^*}} = \sqrt{\frac{\sigma(0)}{\epsilon_0 \epsilon_{\text{el}}(\omega) \tau}}$$

$$n \approx 10^{22} \text{ cm}^{-3} \Rightarrow \omega_p \text{ im UV-Bereich}$$

(i) $\omega \ll 1/\tau, \omega_p$:

$$n \approx \kappa \approx \sqrt{\frac{\sigma(0)}{2\epsilon_0 \omega}} \gg 1 \rightarrow R \approx 1 - 2/n \rightarrow R \approx 1 - 2 \sqrt{\frac{2\epsilon_0 \omega}{\sigma(0)}}$$

Hagen-Rubens-Relation

hohe Leitfähigkeit, $R \approx 1 \rightarrow$ Totalreflexion, Metalle glänzen

Abfall der em-Welle in Metall auf 1/e-tel: $\delta = c/\omega\kappa \rightarrow \delta \approx (2/\sigma(0)\mu_0\omega)^{1/2}$ (Skin-Eindringtiefe)

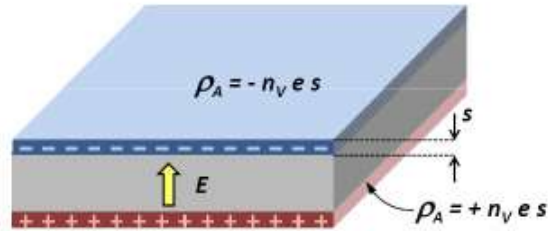
(ii) $1/\tau \ll \omega \ll \omega_p$:

$$\epsilon_r(\omega) \approx \epsilon_{\text{el}}(\omega) \left[1 - \frac{\omega_p^2}{\omega^2} \right] \approx -\epsilon_{\text{el}}(\omega) \frac{\omega_p^2}{\omega^2} < 0 \quad \epsilon_i(\omega) \approx \epsilon_{\text{el}}(\omega) \frac{\omega_p^2}{\omega^3 \tau}, \quad |\epsilon_r| \gg \epsilon_i$$

(iii) $\omega \gg 1/\tau, \omega_p$:

$$\epsilon_r(\omega) \rightarrow \epsilon_{\text{el}}(\omega) \quad \epsilon_i(\omega) \rightarrow 0 \quad \text{Absorptionskoeffizient: } K = \frac{\epsilon_i \omega}{nc} \propto \frac{\omega_p^2}{\omega^2 \tau c} \ll 1/\lambda$$

• longitudinale Plasmaschwingungen



- Anregung durch Beschuss mit geladenen Teilchen
- **Plasmonen**: Quanten der Plasmaschwingungen in Metallen

Beispiel: $q = 0$ Mode

$$\mathbf{E} = \frac{n_V e}{\epsilon \epsilon_0} \mathbf{s} \quad \rightarrow \text{rücktreibende Kraft: } \mathbf{F} = -e\mathbf{E} = -\frac{n_V e^2}{\epsilon \epsilon_0} \mathbf{s}$$

$$\text{DGL bei Vernachlässigung von Reibung:} \quad m \frac{d^2 s}{dt^2} + \frac{n_V e^2}{\epsilon \epsilon_0} s = 0$$

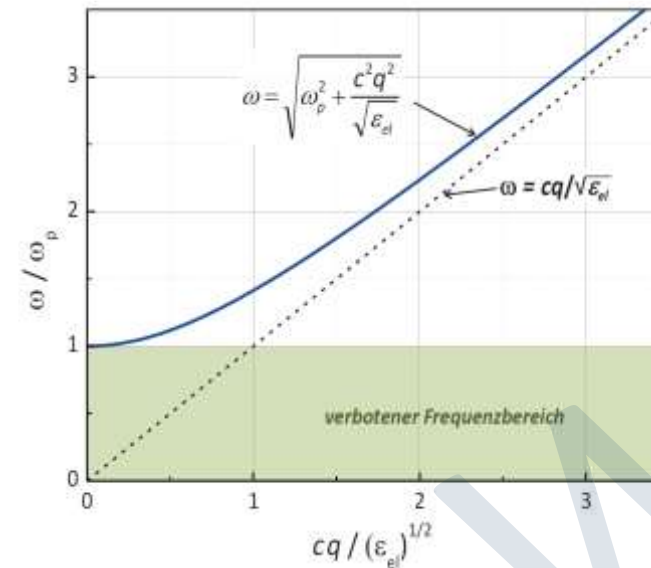
$$\text{harmonischer Oszillator mit Eigenfrequenz: } \omega_p = \sqrt{\frac{n_V e^2}{\epsilon \epsilon_0 m}}$$

• transversale Plasmaschwingungen

- Anregung durch elektromagnetische Wellen
- **Plasmon-Polariton**: gekoppelte Plasma-Schwingung und elektromagnetische Welle

$$\text{Dispersion von em-Welle:} \quad q^2 = \frac{\epsilon_r(\omega)}{c^2} \omega^2$$

$$\text{mit } \epsilon_r(\omega) = \epsilon_{el}(\omega) \left(1 - \frac{\omega_p^2}{\omega^2}\right) \rightarrow \omega^2 = \omega_p^2 + \frac{c^2}{\epsilon_r(\omega)} q^2$$



• Interbandübergänge

- in Metallen und Halbleitern Überlagerung der Anregung von LT durch Intra- und Interbandübergänge
- komplexes Verhalten (Beispiel: gebundene Elektron-Loch-Paare (Exzitonen) in Halbleitern)

Kapitel 11

Dielektrische Eigenschaften

WZM

- **bisher:**
 - Diskussion der Frequenzabhängigkeit der dielektrischen Funktion: $\epsilon(\omega)$
 - Beschränkung auf den Fall großer Wellenlängen, $\lambda \gg a$ bzw. $q \ll \pi/a$ (Zentrum der Brillouin-Zone)

- **jetzt:**
 - Diskussion der q -Abhängigkeit der dielektrischen Funktion: $\epsilon(q)$ für statischen Fall $\omega \simeq 0$
 - Wichtig: $\epsilon(q) = \text{const.}$ in q -Raum $\Leftrightarrow \epsilon(r) = \delta$ -Funktion im Ortsraum \rightarrow rein **lokale Antwort**,
 $\epsilon(q) \neq \text{const.} \Leftrightarrow \epsilon(r) \neq \delta$ -Funktion \rightarrow **nichtlokale Antwort, WW werden wichtig**
 - wichtiger Fall: Abschirmung von Ladungen in Metallen und Halbleitern

(einfache Behandlung mit **Thomas-Fermi-Modell** und **Lindhard-Theorie**)

- **Theoretische Behandlung von wechselwirkendem Elektronensystem sehr schwierig**
 - Verwendung von einfachen Näherungen: „**Mean-Field**“ Theorie
 - Wechselwirkungen führen zu neuen Phänomenen (*kooperativer Magnetismus, Supraleitung*)
 - \rightarrow **Austausch-WW**: wird erst im Zusammenhang mit magnetischen Eigenschaften diskutiert, Berücksichtigung des Elektronenspins)

11.7.1 Statische Abschirmung

- Frage: Auf welcher Längenskala wird eine in ein Metall oder Halbleiter eingebrachte Testladung abgeschirmt?
 - Einbringen von positiver Testladung in Metall:
 - Leitungselektronen werden von dieser Ladung angezogen und schirmen diese ab
 - auf welcher Längenskala passiert diese Abschirmung und von welchen FK-Eigenschaften hängt sie ab?

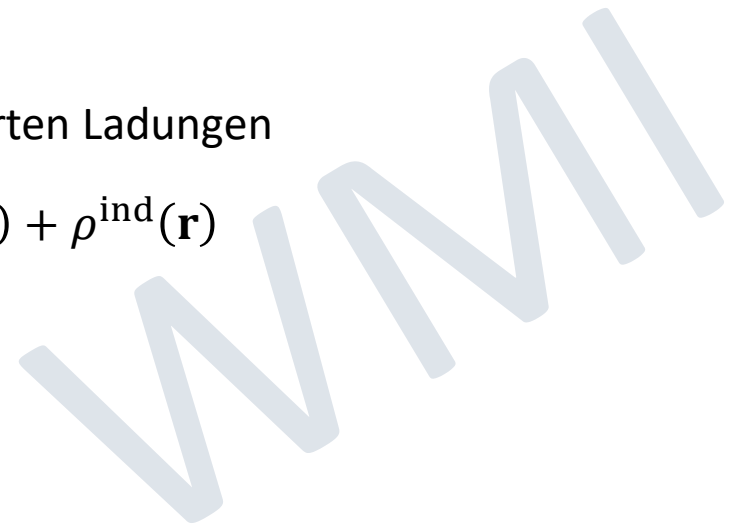
– **Mathematische Beschreibung mit zwei elektrischen Potenzialen:**

i. externes Potenzial durch externe Testladung

$$-\nabla^2 \phi^{\text{ext}}(\mathbf{r}) = \frac{\rho^{\text{ext}}(\mathbf{r})}{\epsilon_0}$$

ii. Gesamtpotenzial durch Summe aus externer Testladung und induzierten Ladungen

$$-\nabla^2 \phi^{\text{ges}}(\mathbf{r}) = \frac{\rho^{\text{ges}}(\mathbf{r})}{\epsilon_0} \quad \text{mit } \rho^{\text{ges}}(\mathbf{r}) = \rho^{\text{ext}}(\mathbf{r}) + \rho^{\text{ind}}(\mathbf{r})$$

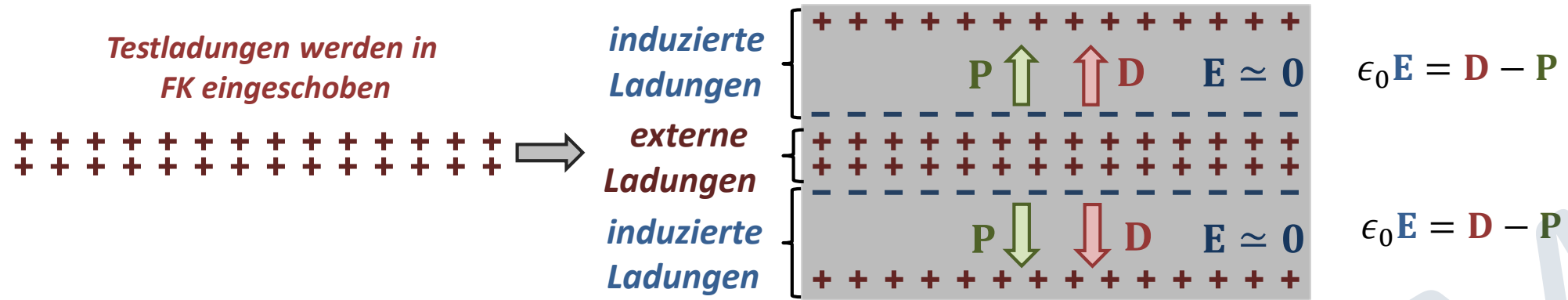


11.7.1 Statische Abschirmung

- Welcher Zusammenhang besteht zwischen externem Potenzial und Gesamtpotenzial?

– wir benutzen Analogie zu **D** und **E**:

- **D** resultiert aus **freien Ladungen** außerhalb von Medium ➔ Assoziation mit ϕ^{ext}
- **E** resultiert aus **gesamter Ladungsverteilung** ➔ Assoziation mit ϕ^{ges}



$$\epsilon(\mathbf{q}) = \int d^3r e^{-i\mathbf{q}\cdot\mathbf{r}} \epsilon(\mathbf{r})$$

$$\epsilon(\mathbf{r}) = \int \frac{d^3q}{(2\pi)^3} e^{+i\mathbf{q}\cdot\mathbf{r}} \epsilon(\mathbf{q})$$

analog

$$D(q, \omega) = \epsilon(q, \omega) \epsilon_0 E(q, \omega)$$

$$\phi^{\text{ext}}(q) = \epsilon(q) \phi^{\text{ges}}(q)$$

(wir diskutieren nur den Fall $\omega \rightarrow 0$ und nehmen ein isotropes Medium an
 $\rightarrow \epsilon(q)$ ist eine skalare Funktion)

Jede räumliche Fourier-Komponente des Gesamtpotenzials entspricht der um den Faktor $1/\epsilon(q)$ abgeschwächten Fourier-Komponente des externen Potenzials

11.7.1 Statische Abschirmung

- Berechnung der induzierten Ladungsverteilung

- **Annahme:**

- induzierte Ladungsdichte $\rho^{\text{ind}}(\mathbf{q})$ soll linear mit Gesamtpotenzial $\phi^{\text{ges}}(\mathbf{q})$ zusammenhängen

$$\rho^{\text{ind}}(\mathbf{q}) = \alpha(\mathbf{q}) \phi^{\text{ges}}(\mathbf{q})$$

- Herstellung des Zusammenhangs zwischen $\alpha(q)$ und $\epsilon(q)$ durch Verwendung von FT von Poisson-Gleichung $-\nabla^2 \phi = \rho/\epsilon_0$

$$q^2 \phi^{\text{ext}}(\mathbf{q}) = \frac{\rho^{\text{ext}}(\mathbf{q})}{\epsilon_0} \quad (1) \qquad q^2 \phi^{\text{ges}}(\mathbf{q}) = \frac{\rho^{\text{ges}}(\mathbf{q})}{\epsilon_0} \quad (2)$$

- (2) – (1) und verwenden von $\rho^{\text{ind}}(\mathbf{q}) = \rho^{\text{ges}}(\mathbf{q}) - \rho^{\text{ext}}(\mathbf{q})$ sowie $\rho^{\text{ind}}(\mathbf{q}) = \alpha(\mathbf{q}) \phi^{\text{ges}}(\mathbf{q})$

$$\epsilon_0 q^2 [\phi^{\text{ges}}(\mathbf{q}) - \phi^{\text{ext}}(\mathbf{q})] = \rho^{\text{ind}}(\mathbf{q}) = \alpha(\mathbf{q}) \phi^{\text{ges}}(\mathbf{q})$$

$$\Rightarrow \phi^{\text{ext}}(\mathbf{q}) = \underbrace{\left(1 - \frac{\alpha(\mathbf{q})}{\epsilon_0 q^2}\right)}_{\epsilon(\mathbf{q})} \phi^{\text{ges}}(\mathbf{q}) \qquad \Rightarrow \epsilon(\mathbf{q}) = 1 - \frac{\alpha(\mathbf{q})}{\epsilon_0 q^2} = 1 - \frac{1}{\epsilon_0 q^2} \frac{\rho^{\text{ind}}(\mathbf{q})}{\phi^{\text{ges}}(\mathbf{q})}$$

11.7.1 Statische Abschirmung

- Berechnung von $\alpha(\mathbf{q})$

- I. **Thomas-Fermi-Methode**

Annahme es räumlich langsam variierenden Störpotenzials \rightarrow semiklassische Behandlung

- II. **Lindhard-Methode** (wird nicht diskutiert)

Behandlung im Rahmen einer linearen Antworttheorie

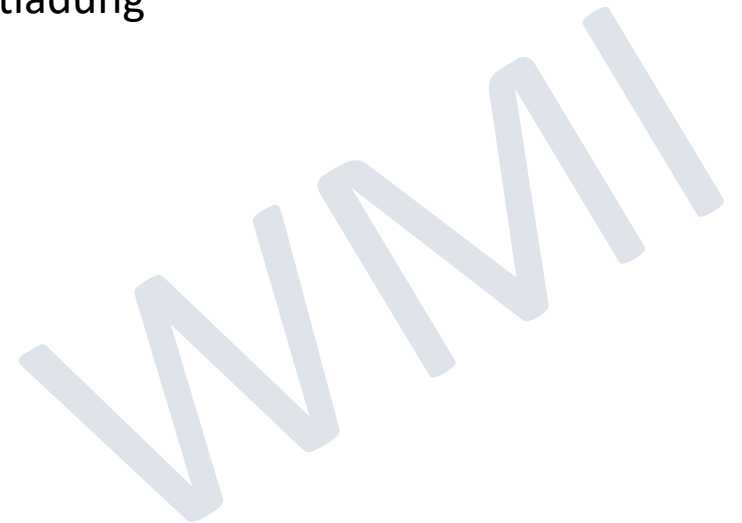
- **Thomas-Fermi-Abschirmung**

- Ausgangspunkt ist Schrödinger-Gleichung mit Zusatzpotenzial durch Gesamtladung

$$-\frac{\hbar^2}{2m^*} \nabla^2 \Psi_k(\mathbf{r}) - e\phi^{\text{ges}}(\mathbf{r})\Psi_k(\mathbf{r}) = E_k \Psi_k(\mathbf{r})$$

- Lösung $\Psi_k(\mathbf{r})$ liefert Ladungsverteilung $\rho^{\text{ges}}(\mathbf{r})$

$$\rho^{\text{ges}}(\mathbf{r}) = -e \sum_k |\Psi_k(\mathbf{r})|^2$$



11.7.1 Statische Abschirmung

- Thomas-Fermi-Abschirmung

- Lösung der Schrödinger-Gleichung in semiklassischer Näherung

- **Annahme:** langsame räumliche Variation von Potenzial, $\lambda \gg \lambda_F$ bzw. $q \ll k_F$

$$E_n(\mathbf{k}, \mathbf{r}) = E_n(\mathbf{k}) - e\phi^{\text{ges}}(\mathbf{r})$$

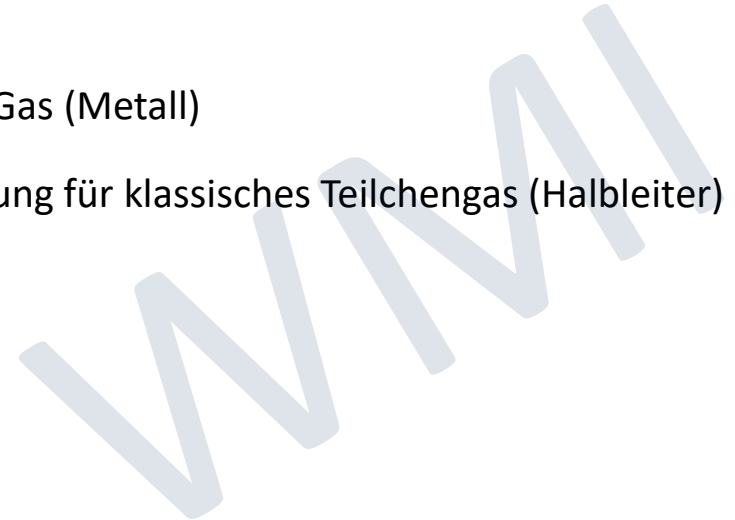
Eigenenergien für $\phi^{\text{ges}}(\mathbf{r}) = 0$

lokale Potenzialfluktuationen durch $\rho^{\text{ges}}(\mathbf{r}) = 0$

- lokale Ladungsträgerdichte in Elektronengas:

$$n(\mathbf{r}) = \frac{1}{4\pi^3} \int f(E(\mathbf{k}, \mathbf{r})) d^3k \quad \left\{ \begin{array}{l} f(E) = \text{Fermi-Verteilung für Fermi-Gas (Metall)} \\ f(E) = \text{Maxwell-Boltzmann-Verteilung für klassisches Teilchengas (Halbleiter)} \end{array} \right.$$

Zustandsdichte im k -Raum



11.7.1 Statische Abschirmung

- Thomas-Fermi-Abschirmung in Metallen (Fermi-Gas, Fermi-Statistik)

- lokale Ladungsträgerdichte in **Fermi-Gas**:

$$n(\mathbf{r}) = \frac{1}{4\pi^3} \int \frac{1}{e^{[E(\mathbf{k}) - \phi^{\text{ges}}(\mathbf{r}) - \mu]/k_B T} + 1} d^3k = n_0[\mu + e\phi^{\text{ges}}(\mathbf{r})]$$

Ladungsträgerdichte des homogenen, ungestörten Systems

- lokal induzierte Ladungsdichte

$$\rho^{\text{ind}}(\mathbf{r}) = -e\{n(\mathbf{r}) - n_0\} = -e\{n_0[\mu + e\phi^{\text{ges}}(\mathbf{r})] - n_0(\mu)\}$$

→ dieser Zusammenhang ist **nichtlinear**, für $e\phi^{\text{ges}}(\mathbf{r}) \ll \mu$ kann Linearisierung vorgenommen werden

- Linearisierung für $e\phi^{\text{ges}}(\mathbf{r}) \ll \mu$:

$$n_0[\mu + e\phi^{\text{ges}}(\mathbf{r})] - n_0(\mu) \simeq \underbrace{\frac{\partial n_0}{\partial \mu} \Big|_{\mu=E_F}}_{D(E_F)/V} \cdot e\phi^{\text{ges}}(\mathbf{r}) \quad \Rightarrow \quad \rho^{\text{ind}}(\mathbf{r}) = \underbrace{-e^2 \frac{D(E_F)}{V}}_{\alpha} \phi^{\text{ges}}(\mathbf{r})$$

11.7.1 Statische Abschirmung

- Thomas-Fermi-Abschirmung in Metallen (Fermi-Gas, Fermi-Statistik)

- aus $\rho^{\text{ind}}(q) = \alpha(q) \phi^{\text{ges}}(q)$ folgt dann

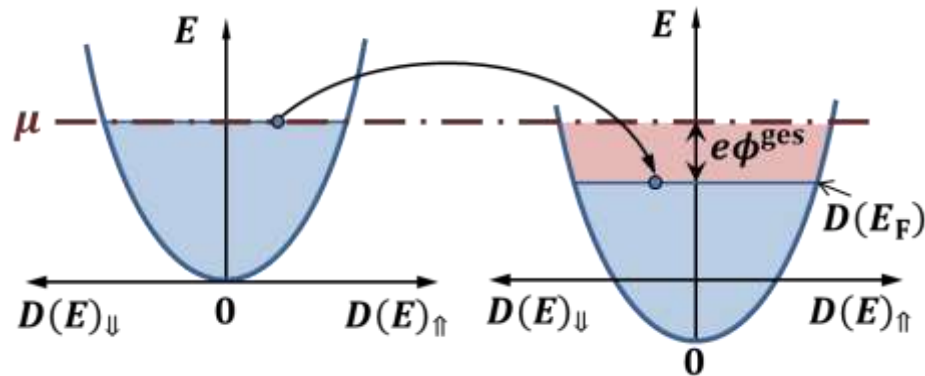
$$\alpha(q) = -e^2 \frac{D(E_F)}{V} \quad \text{und damit} \quad \epsilon(q) = 1 - \frac{\alpha(q)}{\epsilon_0 q^2} = 1 + \frac{e^2}{\epsilon_0 q^2} \frac{D(E_F)}{V}$$

$\rightarrow \epsilon(q) = 1 + \frac{k_s^2}{q^2}$ mit $k_s = \sqrt{\frac{e^2}{\epsilon_0} \frac{D(E_F)}{V}}$ **Thomas-Fermi-Wellenvektor**

Beispiel Cu:
 $\frac{D(E_F)}{V} = 1,2 \times 10^{22} \text{cm}^{-3} \text{eV}^{-1}$
 $2\pi/k_s = 3,45 \text{\AA}$

- für $q \rightarrow 0$ folgt $\epsilon(q) \rightarrow \infty$: für externes Potenzial $\phi^{\text{ext}} \neq 0$ erhalten wir dann $\phi^{\text{ges}} = \phi^{\text{ext}}/\epsilon \rightarrow 0$ (vollkommene Abschirmung)

- Veranschaulichung:**



lokales Anheben/Absenken von Potenzial führt zu Ladungsdichteänderung

$$\delta n(\mathbf{r}) = \frac{D(E_F)}{V} e \phi^{\text{ges}}(\mathbf{r}) \quad \text{rote Fläche}$$

$$\rightarrow -\nabla^2 \phi^{\text{ind}}(\mathbf{r}) = \frac{\rho^{\text{ind}}(\mathbf{r})}{\epsilon_0} = \frac{-e \delta n(\mathbf{r})}{\epsilon_0} = -\frac{e^2 D(E_F)}{\epsilon_0 V} \phi^{\text{ges}}(\mathbf{r}) = -k_s^2 \phi^{\text{ges}}(\mathbf{r})$$

11.7.1 Statische Abschirmung

- Debye-Hückel-Abschirmung in Halbleitern (klassisches Teilchengas, Maxwell-Boltzmann-Statistik)

- lokale Ladungsträgerdichte in **klassischem Teilchengas**:

$$n(\mathbf{r}) = \frac{1}{4\pi^3} \int \frac{A(E, T)}{e^{[E - e\phi^{\text{ges}}(\mathbf{r})]/k_B T}} d^3k = n_0 [E - e\phi^{\text{ges}}(\mathbf{r})] \simeq n_0 e^{e\phi^{\text{ges}}(\mathbf{r})/k_B T}$$

LT-Dichte des homogenen, ungestörten Systems ($\phi^{\text{ges}}(\mathbf{r}) = 0$)

- lokale induzierte Ladungsträgerdichte

$$\delta n(\mathbf{r}) = n(\mathbf{r}) - n_0 = n_0 \left\{ \exp\left(\frac{e\phi^{\text{ges}}(\mathbf{r})}{k_B T}\right) - 1 \right\} \simeq n_0 \left\{ \left[1 + \frac{e\phi^{\text{ges}}(\mathbf{r})}{k_B T} \right] - 1 \right\} = n_0 \frac{e\phi^{\text{ges}}(\mathbf{r})}{k_B T}$$

$e\phi^{\text{ges}}(\mathbf{r}) \ll k_B T$ (Linearisierung)

- lokale induzierte Ladungsdichte

$$\rho^{\text{ind}}(\mathbf{r}) = -e\delta n(\mathbf{r}) = -\frac{n_0 e^2}{k_B T} \phi^{\text{ges}}(\mathbf{r})$$

- aus $\rho^{\text{ind}}(q) = \alpha(q) \phi^{\text{ges}}(q)$ folgt dann

$$\alpha(q) = -\frac{n_0 e^2}{k_B T} \quad \text{und damit} \quad \epsilon(q) = 1 - \frac{\alpha(q)}{\epsilon_0 q^2} = 1 + \frac{n_0 e^2}{\epsilon_0 k_B T} \frac{1}{q^2}$$

$$\epsilon(q) = 1 + \frac{k_s^2}{q^2}$$

mit

$$k_s = \sqrt{\frac{n_0 e^2}{\epsilon_0 k_B T}}$$

Debye-Hückel-Wellenvektor

freies Elektronengas:

$$\frac{D(E_F)}{V} = \frac{3}{2} \frac{n_0}{k_B T_F}$$

⇒ gleicher Ausdruck wie für klassisches und Fermi-Gas, wenn wir T durch T_F ersetzen

11.7.1 Statische Abschirmung

- **Beispiel: Abgeschirmtes Coulomb-Potenzial**

- Einbringen von Störatom mit einer anderen Elektronenzahl in Halbleiter oder Metall

- Potenzial von Punktladung in Vakuum: $\phi^{\text{ext}}(r) = \frac{Q}{4\pi\epsilon_0 r}$ \longleftrightarrow $\phi^{\text{ext}}(q) = \frac{Q}{\epsilon_0 q^2}$
FT

➤ mit $\phi^{\text{ext}}(q) = \epsilon(q) \phi^{\text{ges}}(q)$ und $\epsilon(q) = 1 + \frac{k_S^2}{q^2}$ folgt:

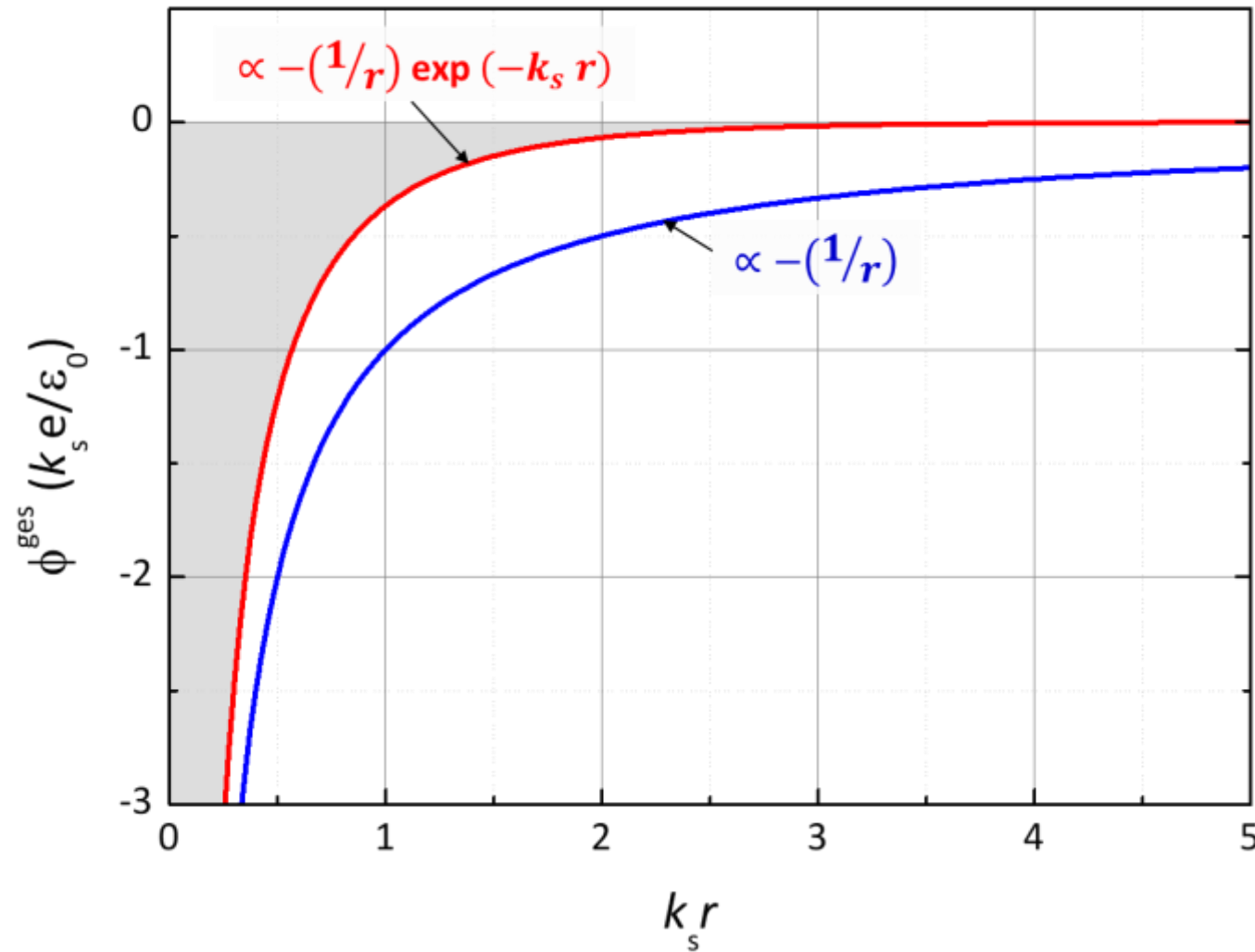
$$\phi^{\text{ges}}(q) = \frac{\phi^{\text{ext}}(q)}{\epsilon(q)} = \frac{Q}{\epsilon_0(q^2 + k_S^2)}$$

- Fourier-Transformation \rightarrow **abgeschirmtes Coulomb-Potenzial oder Yukawa-Potenzial**

$$\phi^{\text{ges}}(r) = \int \frac{d^3q}{(2\pi)^3} e^{i\mathbf{q}\cdot\mathbf{r}} \frac{Q}{\epsilon_0(q^2 + k_S^2)} = \frac{Q}{4\pi\epsilon_0 r} e^{-k_S r}$$

11.7.1 Statische Abschirmung

- Beispiel: Abgeschirmtes Coulomb-Potenzial

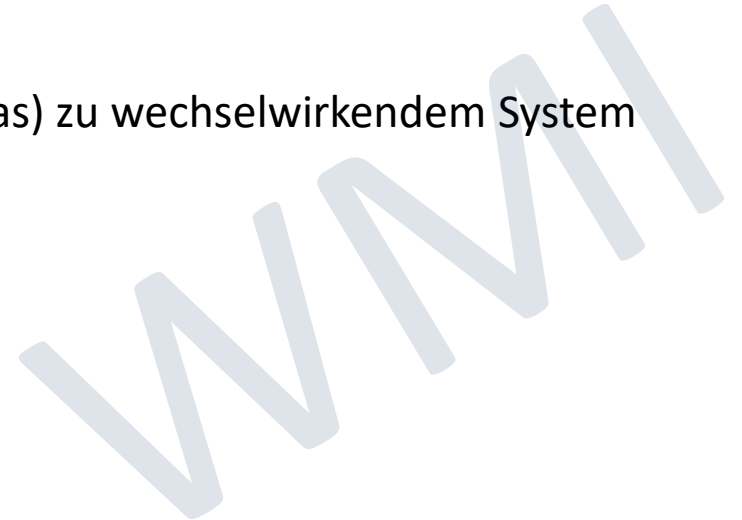


abgeschirmtes Coulomb-Potenzial klingt wegen $\exp(-k_s r)$ -Term für große r wesentlich schneller ab als $1/r$ -Potenzial



11.7.1 Statische Abschirmung

- Weitere Beispiele für die Bedeutung der Abschirmung
 - **Abschirmung von Phononen in Metallen**
 - attraktive Elektron-Elektron-Wechselwirkung → Supraleitung
 - **Metall-Isolator-Übergang**
 - Übergang vom metallischen Zustand in den isolierenden Zustand bei abnehmender Ladungsträgerdichte aufgrund der abnehmenden Abschirmung des Coulomb-Potenzials
 - **Elektron-Elektron-Wechselwirkung**
 - Übergang von nichtwechselwirkendem Elektronensystem (Fermi-Gas) zu wechselwirkendem System (Fermi-Flüssigkeit)



11.7.2 Lindhard Theorie

- Vertiefung: Erweiterungen des Thomas-Fermi-Modells

- Thomas-Fermi-Modell gilt nur für den Grenzfall $\frac{2\pi}{q} \gg \lambda_F$
- Erweiterung auf den Fall kürzerer Wellenlängen durch Lindhardt-Theorie

➔
$$\epsilon(q) = 1 + \frac{k_S^2}{q^2} \left[\frac{1}{2} + \frac{1-x^2}{4x} \ln \left| \frac{1+x}{1-x} \right| \right]$$
 mit $x = \frac{q}{2k_F}$

Korrektur zum Thomas-Fermi-Ergebnis für $T = 0$

- ➔ Korrekturterm ist für $q = 2k_F$ nicht analytisch
 ➔ abgeschirmtes Coulomb-Potenzial von Punktladung besitzt oszillierende Ortsabhängigkeit

$$\phi^{\text{ges}}(r) \propto \frac{1}{r^3} \cos 2k_F r$$

Friedel-Oszillationen



Jacques Friedel

* 11. 02. 1921
 † 27. 08. 2014

11.7.3 Abschirmung von Phononen in Metallen

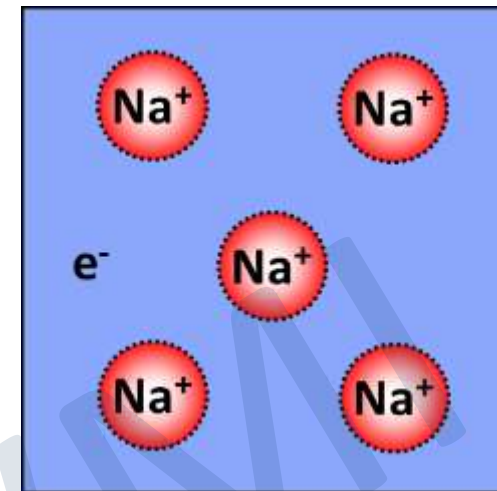
- Vertiefung: Abschirmung von Phononen in Metallen

- in isolierenden Ionenkristallen haben wir modifizierte Frequenzen für die transversal- und longitudinal-optischen Phononen erhalten
 - Ursache sind lokale elektrische Felder die zur Verstärkung/Abschwächung der Rückstellkraft führen
- in Metallen schirmen die Leitungselektronen die Ladungen der Ionen teilweise ab und umgekehrt → **modifizierte dielektrische Funktion**

$$\frac{1}{\epsilon(q, \omega)} = \underbrace{\left(\frac{1}{1 + k_s^2/q^2} \right)}_{\text{Elektronen}} \underbrace{\left(\frac{\omega^2}{\omega^2 - \tilde{\Omega}^2(q)} \right)}_{\text{abgeschirmte Ionen}}$$

Beitrag der Elektronen $\epsilon_{el}(q, 0)$:
kann statisch behandelt werden bis fast
in sichtbaren Bereich

Beitrag der abgeschirmten Ionen $\epsilon_{ion}(q, \omega)$:
 $\tilde{\Omega}^2(q)$ = Plasmafrequenz der abgeschirmten Ionen,
wird für $\omega < \tilde{\Omega}$ negativ → **“Overscreening”**



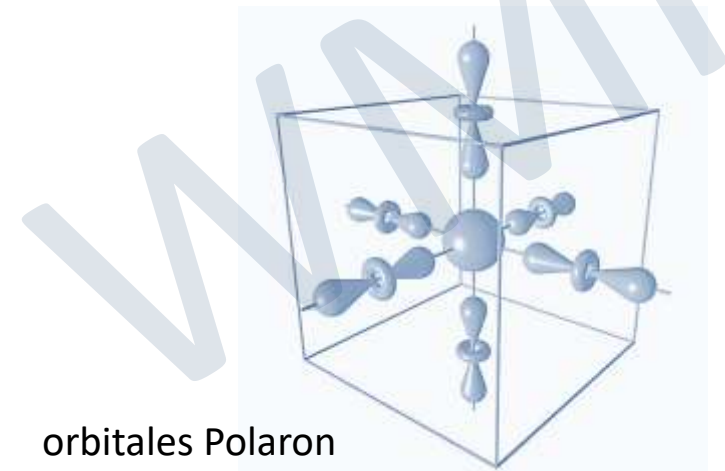
$\phi^{ges}(q, \omega) \propto 1/\epsilon(q, \omega)$ kann negativ werden
→ attraktive El.-El.-Wechselwirkung → Supraleitung

11.7.4 Polaronen

- **Bewegung von Elektronen in stark polaren Medien: Polaronen**
 - **kovalent gebundene Festkörper:**
 - Elektronen und Löcher bewegen sich durch Kristall, dessen neutrale Atome an festem Ort eingefroren sind
→ Wechselwirkung mit Gitter wird durch Elektron-Phonon-Streuung beschrieben
 - **stark polare Festkörper:**
 - starke Coulomb-Wechselwirkung zwischen Elektronen und geladenen Gitterionen
→ Elektronen sind immer von einer **lokalen Gitterverzerrung** umgeben

Polaron = Elektron + Gitterverzerrung

- **Hinweis:**
es gibt auch andere Typen von Polaronen
 - i. **orbitale Polaronen:** Elektron + ausgerichtete Orbitale
 - ii. **Spin-Polaronen:** Elektron + ausgerichtete Spins



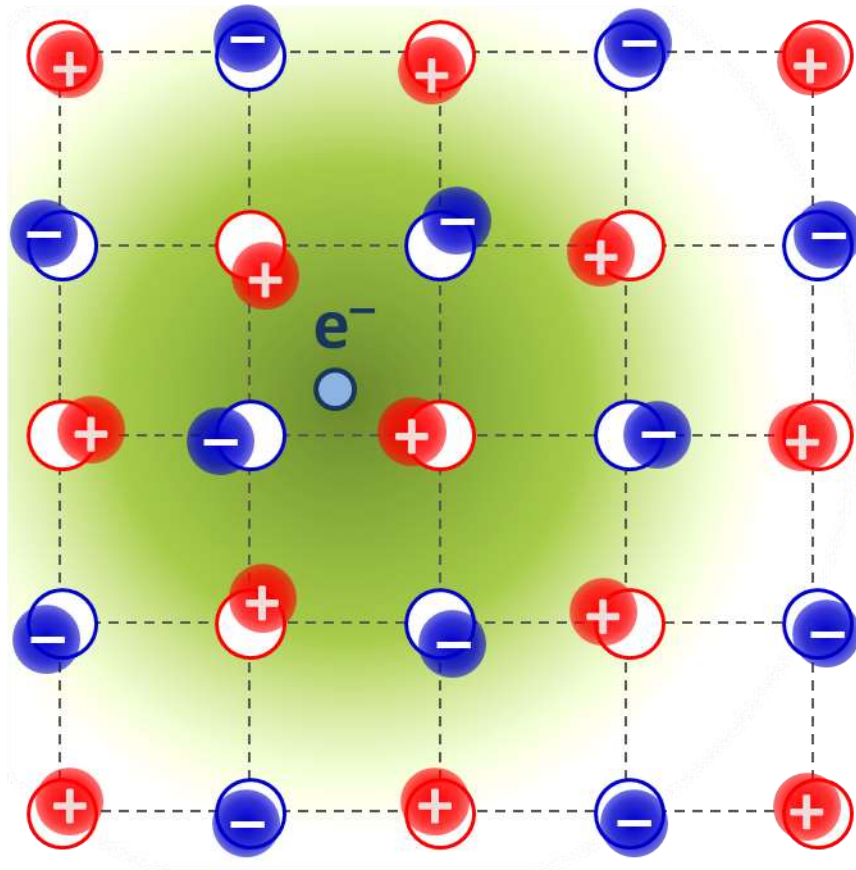
orbitales Polaron

11.7.4 Polaronen

- Große und kleine Polaronen

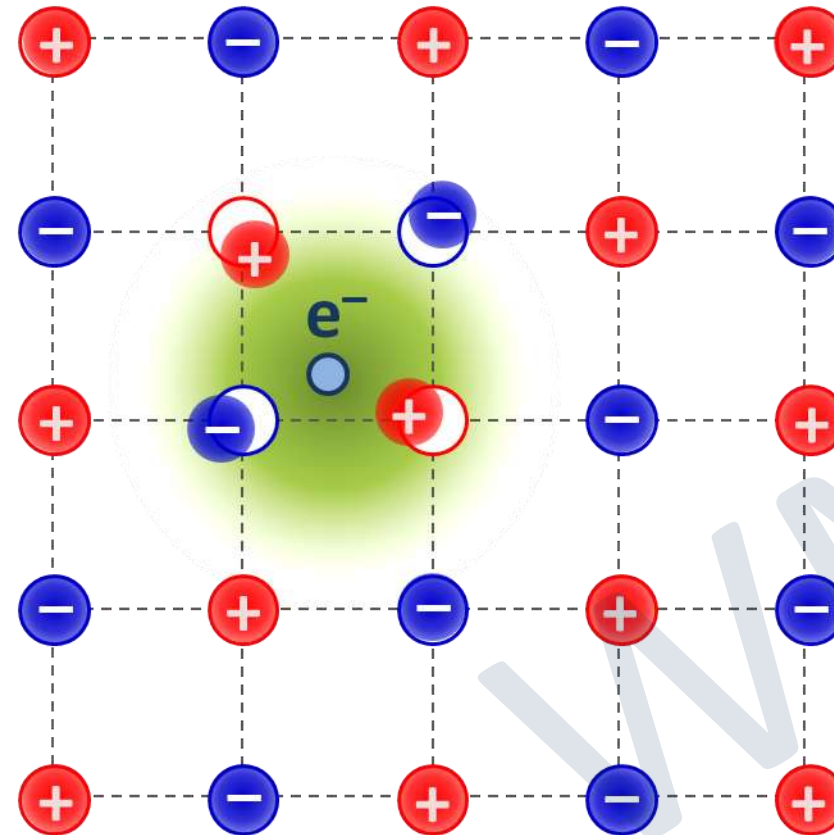
großes Polaron

Verzerrungswolke > Gitterabstand



kleines Polaron

Verzerrungswolke < Gitterabstand



- Effektive Masse von Polaronen

- Elektron muss eine Verzerrungswolke mitschleppen

- kann durch erhöhte effektive Masse berücksichtigt werden

- Berechnung der effektiven Massen von großen Polaronen durch *Richard Feynman*

$$m^* \simeq m_b \left(1 + \frac{\alpha}{6} + 0,025 \alpha^2 \right) \quad \text{für } \alpha \ll 1$$

(m_b = Bandmasse)

$$m^* \simeq m_b (1 + 0,02 \alpha^4) \quad \text{für } \alpha \gg 1$$

(α = El-Ph- Kopplungskonstante)



• Elektron-Elektron-WW und statische Abschirmung in Metallen

- bisher wurde nur ω -Abhängigkeit der dielektrischen Funktion $\epsilon(q, \omega)$ diskutiert
- $\epsilon(q) = \text{const.}$ in q -Raum $\Leftrightarrow \epsilon(r) = \delta$ -Funktion im Ortsraum \rightarrow rein **lokale Antwort**
- $\epsilon(q) \neq \text{const.}$ in q -Raum $\Leftrightarrow \epsilon(r) \neq \delta$ -Funktion im Ortsraum \rightarrow **nichtlokale Antwort**
- wechselwirkendes Elektronensystem führt zu nichtlokaler Response in Metallen
 $\rightarrow q$ -Abhängigkeit der dielektrischen Funktion: $\epsilon(q) \neq \text{const}$

• Theoretische Behandlung von wechselwirkendem Elektronensystem sehr schwierig

- Verwendung von einfachen Näherungen: **“Mean-Field“ Theorie**
- Wechselwirkungen führen zu neuen Phänomenen
 \rightarrow **Abschirmung** (einfache Behandlung mit **Thomas-Fermi-Modell** und **Lindhard-Theorie**)
 \rightarrow **Austausch** (Diskussion der Austausch-WW im Zusammenhang mit magn. Eigenschaften, Berücksichtigung des Spins)

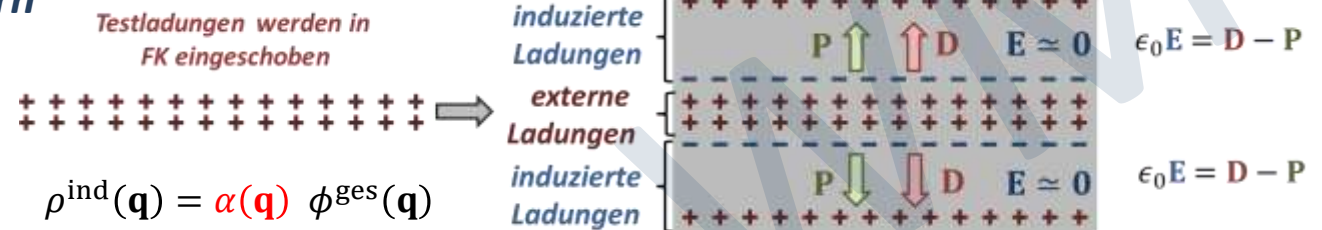
• statische Abschirmung in Metallen und Halbleitern

$$D(q, \omega) = \epsilon(q, \omega) \epsilon_0 E(q, \omega)$$



$$\phi^{\text{ext}}(q) = \epsilon(q) \phi^{\text{ges}}(q)$$

$$\epsilon(\mathbf{q}) = 1 - \frac{\alpha(\mathbf{q})}{\epsilon_0 q^2} = 1 - \frac{1}{\epsilon_0 q^2} \frac{\rho^{\text{ind}}(\mathbf{q})}{\phi^{\text{ges}}(\mathbf{q})}$$

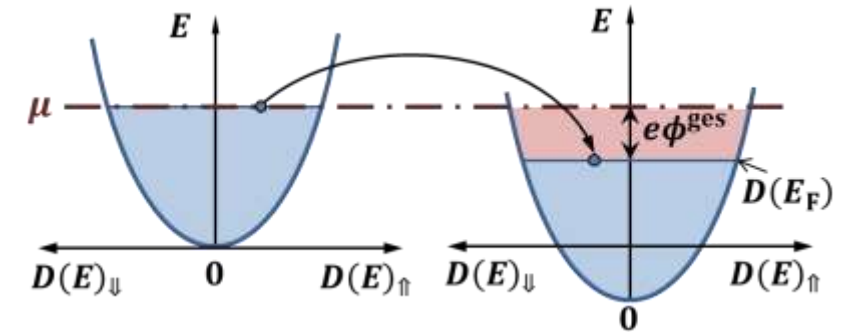


- (i) Thomas-Fermi-Methode \rightarrow semiklassische Behandlung
- (ii) Lindhard-Methode \rightarrow lineare Antwort-Theorie

• Thomas-Fermi Abschirmung

$$\epsilon(q) = 1 + \frac{k_s^2}{q^2} \quad k_s = \sqrt{\frac{e^2}{\epsilon_0} \frac{D(E_F)}{V}} \quad \text{Thomas-Fermi-Wellenzahl}$$

Kupfer: $D(E_F)/V = 1.2 \times 10^{22} \text{ cm}^{-3} \text{ eV}^{-1} \Rightarrow 2\pi/k_s = 3,45 \text{ \AA}$



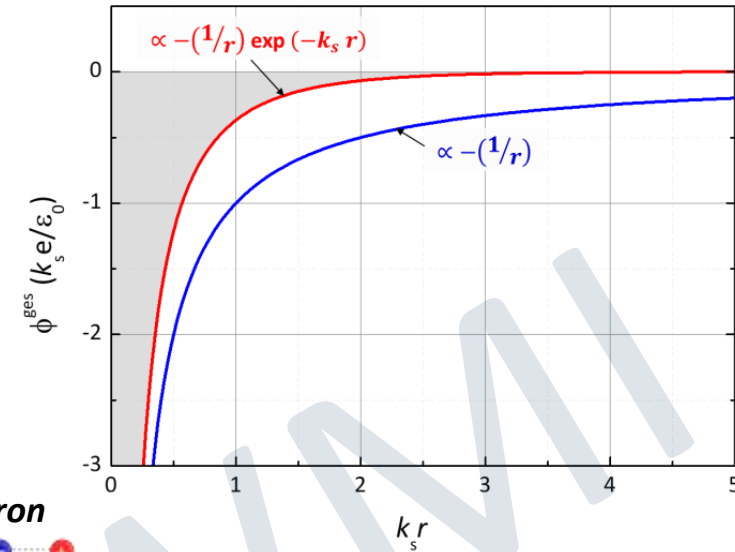
• abgeschirmtes Coulomb-Potenzial (Punktladung)

$$\phi^{\text{ext}}(\mathbf{r}) = \frac{Q}{4\pi\epsilon_0 r} \xrightarrow{\text{FT}} \phi^{\text{ext}}(\mathbf{q}) = \frac{Q}{\epsilon_0 q^2}$$

$$\phi^{\text{ges}}(\mathbf{r}) = \frac{Q}{4\pi\epsilon_0 r} e^{-k_s r} \xleftarrow{\text{FT}} \phi^{\text{ges}}(\mathbf{q}) = \frac{Q}{\epsilon_0 (q^2 + k_s^2)}$$

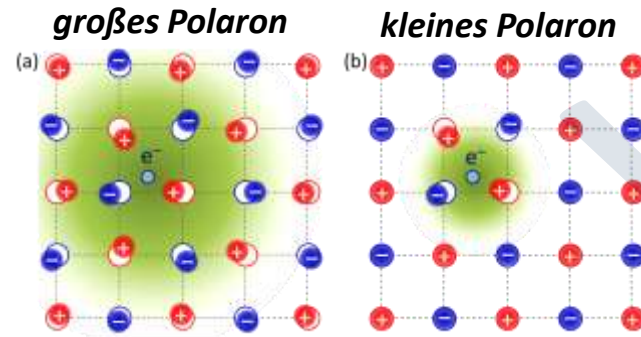
$\phi^{\text{ext}}(\mathbf{q}) = \epsilon(\mathbf{q}) \phi^{\text{ges}}(\mathbf{q})$

Yukawa-Potenzial



• Polaronen

- starke Coulomb-WW zwischen Elektronen und Gitterionen in polaren Festkörpern
→ Elektronen sind von einer lokalen Gitterverzerrung umgeben
- effektive Masse von Polaronen
→ Erhöhung der effektiven Bandmasse
→ Elektron schleppt Verzerrungswolke mit sich



Polaron = Elektron + Gitterverzerrung